Research of Environmental Sciences

餐厨垃圾堆肥理化特性变化规律研究

杨延梅¹, 席北斗^{3*}, 刘鸿亮^{1,3}, 魏自民², 杨志峰¹, 张相锋¹

- 1. 北京师范大学 环境学院,北京 100875
- 2. 重庆交通大学, 重庆 400074
- 3. 中国环境科学研究院,北京 100012

摘要:餐厨垃圾主要包括厨余和泔脚,二者的化学组成、物料结构以及初始微生物量均存在差异. 对厨余和泔脚分别与相同质量比的木屑混合堆制的一次好氧堆肥过程进行了比较研究. 结果表明,在相同好氧堆肥条件下,二者的特性变化不同:与厨余堆肥系统相比,泔脚堆肥系统初始水溶性 $_{W}(C)/_{W}(N)$ 高,堆肥 pH 较低,高温持续时间长, $_{CO_{2}}$ 释放率高, $_{NH_{3}}$ 挥发少,氮素损失低,堆制后堆肥含氮量升高;但泔脚一次堆肥所需时间偏长,应采取有效方法加速其堆肥进程. 厨余堆肥系统升温快,堆肥周期短,但生物可利用碳的短缺造成系统氮素损失量大,可采用在厨余堆肥中添加适当碳源等措施来减少氮素损失.

关键词: 堆肥; 餐厨垃圾; 理化特性; 变化规律

中图分类号: X701 文献标识码: A 文章编号: 1001 - 6929(2007)02 - 0072 - 06

Study on the Change of Physicochemical Characteristics of Food Wastes During Aerobic Composting

 $YANG \ Yan-mei^1 \ , \ XI \ Bei-dou^3 \ , L \ IU \ Hong-liang^{1,\,3} \ , \ WEI \ ZI-min^2 \ , \ YANG \ Zhi-feng^1 \ , \ ZHANG \ Xiang-feng^1$

- 1. School of Environment, Beijing Normal University, Beijing 100875, China
- 2. Chongqing Jiaotong University, Chongqing 400074, China
- 3. Chinese Research Academy of Environmental Sciences, Beijing 100012, China

Abstract: Food wastes were generally classified into pre-consumer food wastes and post-consumer food wastes. These two types of food wastes were different especially in chemical composition, material structure and initial microbial biomass. The aerobic composts, which mixed pre-consumer food waste and post-consumer food wastes respectively with same amount of sawdust, were compared. The result indicated that they have different characteristic under the same conditions of aerobic compost process. Compared to pre-consumer food wastes, the post-consumer food wastes composting had higher water solubility carbon to nitrogen ratios, lower pH of the compost material, longer lasting time of high temperature phase, higher discharge of CO₂, lower loss of nitrogen and increased nitrogen content of material after composing. However post consumer food wastes composting cost more time, and effective method should be taken to accelerate compost process. The pre-consumer food wastes composting can increase its temperature rapidly and shortened composting time, but the lack of available carbon caused more loss of nitrogen of the pre-consumer food wastes composting. The loss of nitrogen can be reduced by adding appropriate carbon to pre-consumer food wastes.

Key words: composting; food wastes; physicochemical characteristics; change

餐厨垃圾主要包括厨余和泔脚两大类:一般在

收稿日期: 2006 - 07 - 10

基金项目: 国家高技术研究发展计划(863)项目(2001AA4020);国家

重点研究发展计划(973)项目(2005CB724203)

作者简介: 杨延梅(1975 -),女,蒙古族,内蒙古满州里人,博士研

究生.

*责任作者

食品加工过程中产生的食物残余称为厨余;而在饮食消费后的食物残余称为泔脚门。厨余主要来自居民生活区、食品批零市场和各垃圾站点;泔脚主要来源于餐饮行业、宾馆和企事业单位的食堂门之。餐厨垃圾直接饲喂动物,食物链短循环极易带来口蹄疫等疾病感染;由"泔脚"派生的"潲水油",极易产生致癌物质——黄曲霉素,对人体健康危害极大。垃

圾中的"厨余"容易变质、腐烂、滋生病菌、造成疾病 的传播:散发的恶臭气体污染大气:易产生渗滤液而 污染地表水和地下水[1] . 对餐厨垃圾填埋会产生 大量的渗沥液和温室气体,焚烧热值低需添加大量 辅料,所以堆肥成为餐厨垃圾处理的有效方 法[1,4-7]. 厨余垃圾碳氮比较低:而泔脚含油脂,油 脂为脂肪酸只含碳不含氮,故泔脚碳氮比厨余高. 泔脚和厨余的理化性质也有差别:泔脚分散性差、容 重大、孔隙容易被压缩:而厨余中的部分硬质体能在 反应初期起到很好的骨架支撑作用[7]. 厨余和泔脚 同为餐厨垃圾,它们的堆肥化比较研究较为少见. 笔者对厨余堆肥和泔脚堆肥的理化特性变化及餐厨 垃圾的合理化堆肥进行了对比研究.

1 材料和方法

1.1 堆肥材料

该试验分别以食堂的泔脚和居民区的厨余作为 堆肥基质,以木屑作为调理剂. 调理剂加入量过少 则堆肥孔隙率低,不利于堆肥反应:调理剂过多则易 堆腐物质过少,堆体升温慢、堆温低,影响堆肥进程 和堆肥效果[8]. 经预试验确定有机底物与木屑的适 宜质量比为 1.1 1(干重). 将厨余和泔脚分别切碎, 物料粒径为 $5 \sim 35 \text{ mm}$, 然后分别以 m(有机底 物) m(木屑) = 1.1 1(干重)的比例与木屑混合,通 过烘干部分调理剂,将初始堆料的含水率控制在 70 %左右, 堆肥物料的初始湿质量为 14 kg, 其基本 性质见表 1.

表 1 堆肥物料的基本性质

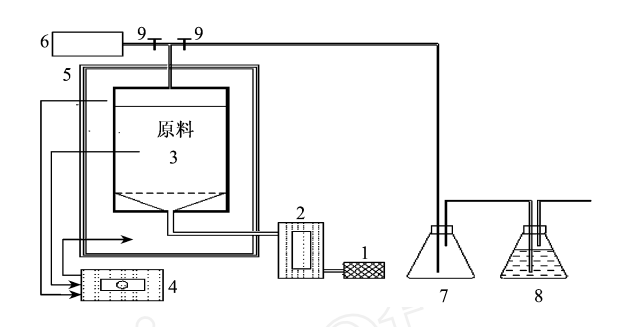
Table 1 Physiochemical properties of the composting material

堆肥物料	w(全碳)/ (g kg ⁻¹)	w(全氮)/ (g kg ⁻¹)	w(C)/ w(N)	含水 率/%	pН
泔脚	506.3	24.7	20.5	80.5	4.4
厨余	432.7	32.4	13.4	81.7	5.9
木屑	482.6	0.7	689.4	_	6.8
泔脚初始堆料	495.0	14. 1	35. 1	69. 1	4. 5
厨余初始堆料	456.5	17.3	26.4	70.5	6.3

注:碳、氮含量以堆料干基计,含水率以湿基计.

1.2 堆肥装置和堆肥方法

好氧堆肥过程采用的反应装置如图 1 所示. 反 应器尺寸:高 400 mm,直径 330 mm,总容积 34 L,出 气口直径 6 mm,配有渗沥液收集装置、供气及计量 系统、温控系统、出口气体在线检测仪器:O2-H2S气 体测定仪, CO2 检测仪. 该装置不仅可在线检测出 口气体浓度,而且其良好的保温设施和温控系统保 证了堆肥环境的稳定性和实验数据的准确性、实时 性, 堆肥试验采用强制通风供氧方式, 平均供气量 为 0.1 m³/(m³ min) . 堆肥周期为 21 d. 翻堆频率为 第1次间隔1d,之后每隔2d1次.



1 -- 气泵; 2 -- 气体流量计; 3 -- 反应堆; 4 -- 温差控制装置 :5 -- 恒温箱 :6 -- 气体测定仪 : 7-冷凝瓶;8-酸吸收瓶;9-气体控制阀

图 1 好氧堆肥反应装置图

Fig. 1 The diagram of equipment for composting

1.3 取样及分析方法

取样:翻堆时取样. 所取样品湿质量约为150 g, 将其分成 3 份:一份105 烘干 24 h 测水分:一份自 然风干粉碎后测定物料的 w(全氮), w(铵氮)和 w(硝氮);另一份储存于4 冰箱中待测水溶性组 分和 pH.

分析方法:物料全氮采用改进的凯氏法,硝氮采 用酚二磺酸比色法,铵氮采用 KCI 浸提 ——MgO 蒸 馏法[9]:新鲜堆肥样品用去离子水按 $m(\pm)$ m(x)为 1 10 (以干重计) 振荡浸提 1 h.4 低温 10 000 r/min离心 20 min 后,取上清液测其水溶性组分和 pH. 水溶性铵氮采用靛酚蓝比色法,水溶性凯氏氮 用凯氏定氮法,硝氮极易溶干水,故酚二磺酸比色法 测定的堆体硝氮是水溶性的 水溶性总氮 = 水溶性 凯氏氮 + 水溶性硝氮,水溶性有机氮 = 水溶性总 氮-水溶性硝氮-水溶性铵氮[□→□];水溶性碳用 TOC测定仪测定;pH用pH计测定;堆体冷凝水和 2.0 mol/L H₂SO₄ 吸收液中的铵氮用靛酚蓝比色法测 定,堆体释放的 NH。为二者之和[10]. 采用牛肉膏蛋 白胨培养基稀释平板计数法测定细菌数量,中温菌 ,高温菌为55 ,培养期为 2 d^[12]; 培养温度为30 ○○ 在线检测,取均值表示释放速率:在线监测堆 温,取每天的平均温度作为堆肥的日均温.

2 结果与分析

2.1 堆肥微生物和温度的变化

2.1.1 堆肥微生物的变化

堆肥过程实质上是微生物的作用过程,在堆肥 进程中是由群落结构演替迅速、数目巨大的多个微 生物群体(细菌、真菌、放线菌)共同作用下实现有机物的降解和合成. 在好氧堆肥过程中,细菌体积小、比表面积大、增殖速度快、数量多,是堆肥中的优势种群,故该试验仅对堆肥过程中的细菌数进行研究[13]. 厨余堆肥初始中温菌数量为 10¹² g ¹ 数量级, 21 d 时为 10¹⁴ g ¹ 数量级. 厨余初始高温菌数量为 10³ g ¹ 数量级,堆制 21 d 时为 10⁹ g ¹ 数量级. 泔脚多为熟食品废物,在高温烹饪过程中有一定的杀菌作用,其原始菌的数量较厨余少. 泔脚堆肥初始中温菌数量接近 10⁷ g ¹ 数量级,21 d 时接近 10¹⁵ g ¹ 数量级. 泔脚初始高温菌数量接近 10⁴ g ¹ 数量级,21 d 时达 10⁸ g ¹ 数量级 (见图 2). 由于试验温度达到了堆肥无害化的要求(见 2.1.2 节),而堆制后堆肥的微生物含量升高,说明一次好氧堆制使堆肥的有益菌数量得到了提升.

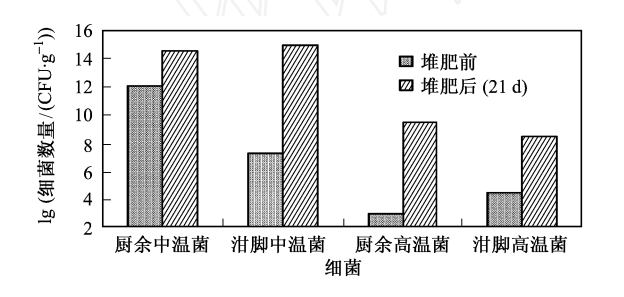


图 2 堆体细菌数量的变化

Fig. 2 Change of bacteria magnitude during composting

2.1.2 堆体温度的变化

堆体温度是堆肥化反应进程的直观表现. 从图 3 可知,厨余堆肥升温速度快,降温也快;泔脚堆肥升温较慢,但高温时间长,降温期后延. 说明泔脚堆肥的生物反应强度和持续时间大于厨余堆肥. 而厨余堆肥、泔脚堆肥的在线堆温分别于 1.5~4.6 和5.9~9.8 d 超过55 (在线堆温图略),两堆体的堆温均连续 3 d 以上超过55 ,达到了美国环境保护局(USEPA)的堆肥无害化要求[14]. 厨余堆肥和泔脚

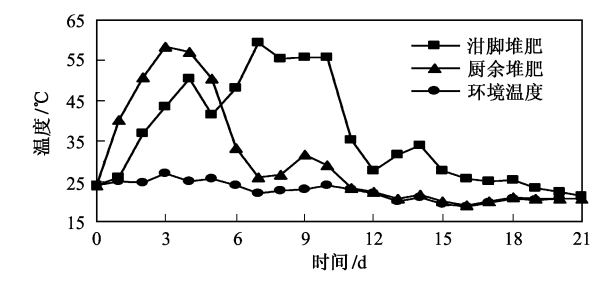


图 3 堆体日均温的变化

Fig. 3 Change of average temperature of composting material

堆肥分别于堆制 11 和 20 d 时接近环境温度,且不再升温,可认为一次发酵已结束.由此可见泔脚堆肥实际所需的一次发酵时间较厨余堆肥长.

图 3 中两堆体均在高温峰值后,在降温期又有一小峰值. 这是因为堆温下降时,高温菌活性降低,而中温菌群正在适应环境. 当堆体温度适宜,且中温种群恢复活性时,该类微生物迅速增殖,对可降解有机物的分解又达峰值,堆体温度随之上升. 之后,由于物料中可利用有机物的限制,堆肥微生物活性降低,堆温再次下降.

2.2 堆体 pH 的变化

泔脚分散性差、容重大、孔隙容易被压缩,易在 堆体内部形成厌氧区,这些使泔脚在堆肥过程中常 处于酸性环境[7]. 由图 4 可见, 泔脚堆肥的初始 pH 为 4.5, 堆制 3 d 后升至 5.7, 这是由于在微生物分解 作用下形成的小分子有机酸被微生物所吸收,另一 部分有机酸,CO2和部分CH4挥发至大气中,而此时 含氮物质被分解生成的 NH, +-N 未被微生物合成利 用完全,使堆体的 pH 略有升高. 然后由于泔脚脂肪 碳的含量高,脂肪酸被进一步分解生成酸性物质使 pH 下降. 随着 CO2 的大量排放和 NH4 +-N 的进一步 生成,7d后pH又一次上升,此后pH基本稳定在7左 右. 由图 4 还可看出,厨余堆肥初期,有机物分解产 生有机酸使 pH 先下降,pH 由初始的 6.3 降为第1天 的 5.7,之后由于有机氮矿化产生的大量 NH_4 $^{+}$ -N 存 留于堆体之中,有机酸和 〇 溶于水后贡献的酸度不 足以抵消 NH⁺-N 溶于水后贡献的碱性 .使第 3 天的 pH上升为 8.2,第 11 天后 pH基本稳定在 9 左右.

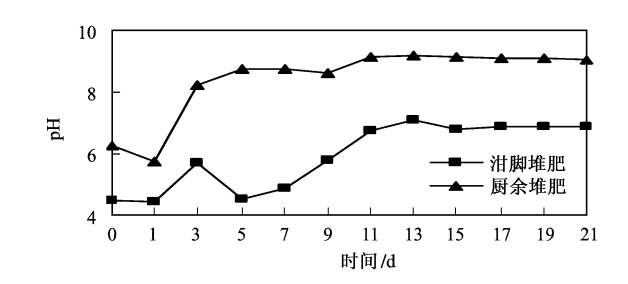


图 4 堆体 pH的变化

Fig. 4 Change of pH during composting

2.3 堆肥水溶性w(C)/w(N)的变化

堆肥反应的微生物代谢发生在水溶相,水溶性w(C)/w(N)的理论意义为堆肥水溶相代谢的程度. 由图 5 可见,厨余堆肥系统水溶性w(C)/w(N) 由初始的 13.6 降为第 5 天的 4.4,随后由于 NH_3 等氮的损失,水溶性w(C)/w(N) 略有回升,但变化不大. 由

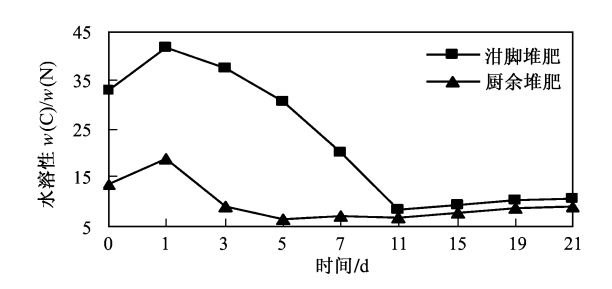


图 5 水溶性 w(C)/w(N)的变化

Fig. 5 Change of soluble w(C)/w(N)during composting

图 5 可见, 泔脚堆肥水溶性 $_{w}(C)/_{w}(N)$ 由初始的 32.9 降为第 7 天的 19.9, 又降至第 11 天时的 8.1, 之后略有回升但变化亦不大. 在堆肥过程中, 泔脚堆肥的水溶性 $_{w}(C)/_{w}(N)$ 始终较厨余堆肥的高,证明泔脚堆肥的可利用碳较厨余堆肥充足.

2.4 CO2 释放和 NH3 挥发

2.4.1 〇〇 释放

堆肥是利用微生物分解和转化原料中的可降解 有机物产生二氧化碳、水及热量的过程,碳在微生物 新陈代谢过程中约有 2/3 变成二氧化碳而被消耗 掉[8,15]. 由图 6 可见,厨余堆肥初始的微生物数量较 泔脚堆肥多,并且初始 pH 接近中性从而更利于微 生物的生长代谢(见图 4),所以堆肥初期厨余的 002 (以 CO₂-C 计) 释放率较泔脚的大. 在堆肥过程中, 厨余第3天的 CO₂ 释放率最高,为其释放总量的 13.7%. 堆肥前 6 d, 厨余 CO₂ 的释放量为总量的 60 %, 堆制至第 9,10 天时的 CO₂ 释放量为总量的 20%. 泔脚中含油脂,脂肪可被微生物水解形成甘 油和脂肪酸,甘油可氧化成二氧化碳和水,但脂肪酸 较难分解,所以泔脚堆肥 〇 释放的峰值较厨余堆 肥的略迟,其第7天 CO2 的释放率最高,为 CO2 释放 总量的 19.7 %. 泔脚集中释放 CO2 在第 6~10 天, 其释放量为总量的 53.5 %,且该时段泔脚堆肥的温 度也最高. 在整个堆肥过程中,泔脚的平均 🔾 科 放率为厨余的1.4倍.

图 6 中泔脚和厨余的 CO₂ 释放均有 2 个显著的峰值,这是由物料中不同含碳物质的降解引起的.可溶性糖、有机酸和淀粉等易利用碳的降解产生CO₂ 释放的第 1 峰,而当微生物利用相对难降解的脂肪、果胶、半纤维素等物质时,生成 CO₂ 释放的第 2 峰.作用于不同物质的微生物类群不同,而微生物类群的更替通常会有时滞效应,表现在 CO₂ 的释

放上则为在2个峰之间略有停滞.

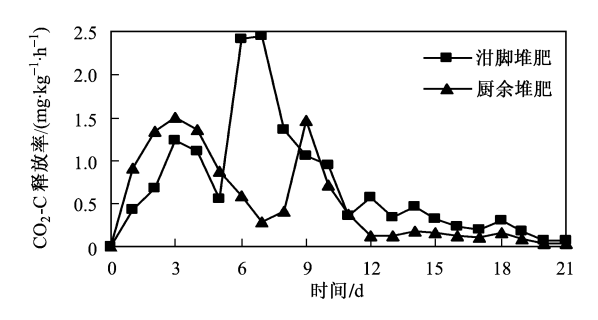


图 6 厨余和泔脚 CO₂-C 释放率的变化

Fig. 6 Volatilization velocity of CO₂-C during composting

2.4.2 NH₃ 挥发

在通风量一定的情况下,NH₂(以 NH₃-N 计)的 挥发受堆温和堆体 pH 的影响, 由图 7 可见, 厨余堆 肥在堆制 5 d 时, 堆体累积的铵氮浓度最高(见图 8), 堆体pH为8.7左右(见图4),堆温超过50 3),在通风条件下,大量的 NH。挥发出堆体. 厨余堆 肥在第4~7天时的 NH。挥发较集中,为总挥发量的 52.9%. 第2峰出现在第10~13天,该时段NH。挥发 仅占总量的22.0%. 由图7可见,由于泔脚堆肥初始 pH 较低(见图 4),水溶性 w(C)/w(N)较高(见图 5), 堆肥过程中铵氮含量也低,所以泔脚堆肥只在高温阶 段的后期有 NH。挥发. 泔脚堆肥水溶性 w(C)/w(N) 在堆制 11 d 左右才降至 10 以下(见图 5).所以泔脚 NH3 挥发的高峰期较厨余后延了 5 d,只集中在第 10~12 天,该时段的 NH。挥发量占总量的 91.4 %. 泔 脚堆肥的 NH。挥发量远低于厨余,其总量不到厨余 NH₃ 损失的 1/4.

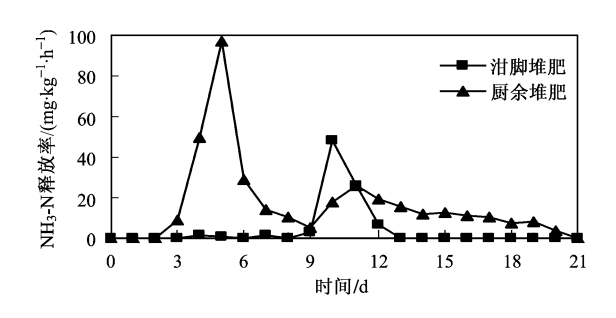


图 7 厨余和泔脚 NH。- N释放率的变化

Fig. 7 Change of volatilization velocity of NH₃-N during composting

2.5 堆肥氮素的变化及损失

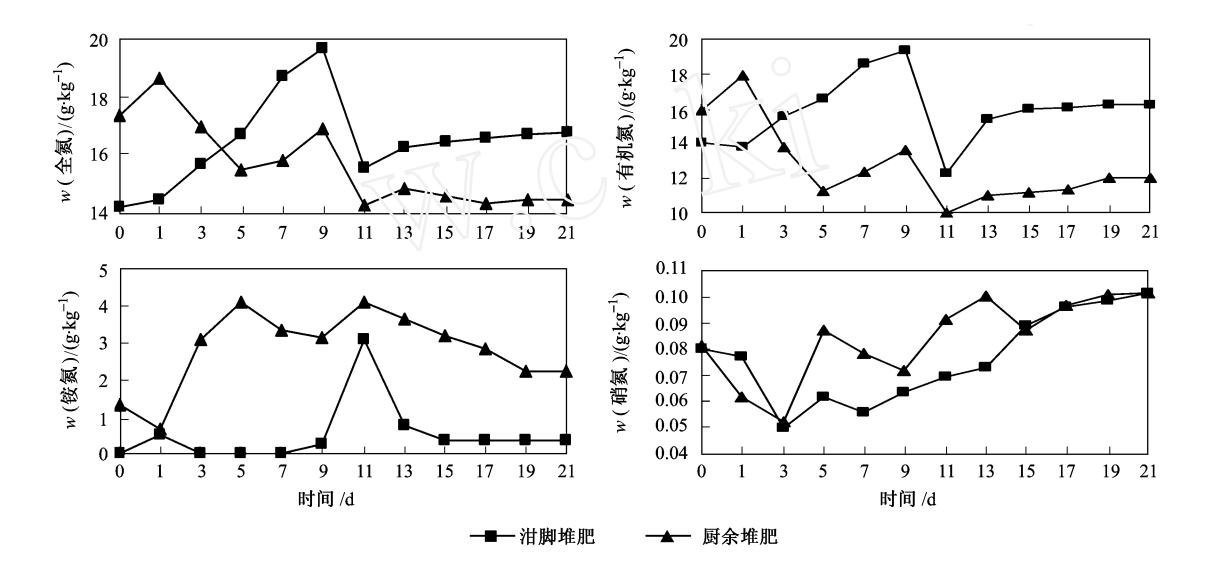
2.5.1 堆肥氮素的变化

氮主要用于细胞原生质的合成,自然界中的氮 有多种,堆肥过程中的氮主要就是铵氮、硝氮和有机 氮. 厨余堆肥和泔脚堆肥初始堆料的氮组分中有机氮分别占 91.9%和 99.4%;硝氮分别占 0.5%和 0.6%;厨余堆肥中铵氮占 7.6%,而泔脚堆肥几乎不含铵氮. 说明 2种堆肥系统原料中有机氮占绝对优势,且泔脚堆肥原料的初始氮基本上都以有机氮的形式存在.

76

由图 8 可见,厨余堆肥全氮和有机氮含量总体呈下降趋势,有机氮下降幅度较全氮大,因为在堆肥过程中有机氮除转化为铵氮,并且随着堆肥温度的

升高和 pH 的增大,致使氨气较易挥发出堆体,造成氮素损失较大外,另有部分有机氮转化为铵氮和硝氮存留于堆体中,所以堆体的全氮、有机氮含量下降,而铵氮、硝氮含量增加. 堆制后,厨余堆肥铵氮上升了 67.0%;随着泔脚堆肥水溶性 w(C)/w(N)的大幅下降,堆制 9 d 时其铵氮开始升高,11 d 达最大测值. 经过一次好氧堆制,厨余堆肥全氮含量下降了 17.1%,有机氮下降了 24.4%.



环 境 科

图 8 堆肥各形态氮的变化

Fig. 8 Change of nitrogen form of material during composting

由图 8 还可看出, 泔脚堆肥在堆制的前 9 d 其 全氮、有机氮的含量呈上升趋势,这是由于泔脚堆肥 中的易降解含碳物质被氧化为 〇〇2 排入大气,导致 堆体总质量减少,而此时的 NH。挥发较少(见图 6, 7) . 氮素在该阶段相对被浓缩: 10~11 d 时 NH。 挥发 等的氮素损失较大,导致总氮、有机氮含量下降:11 d 后,由于NH。挥发量少,且仍有CO2等碳的释放,所以 泔脚堆肥的氮含量再次上升(经过一次好氧堆制,泔 脚堆肥全氮含量上升了18.4%,有机氮上升了 15.7%. 经历 10~12 d 的 NH。挥发后, 泔脚堆肥铵氮 含量急剧下降,15 d 时降为 0.4 g/kg. 泔脚堆肥初期 水溶性w(C)/w(N)较高,水溶性氮含量相对较低,微 生物合成利用了部分硝氮,使堆肥3 d 时硝氮含量略 有下降;之后随着水溶性w(C)/w(N) 和堆温的下降, 硝氮含量略有上升,但始终没超过 0.2 g/kg,说明一次 好氧堆制过程中硝化作用不显著,这可能是因为堆肥 温度较高,不利于硝化细菌的繁殖[16].

2.5.2 堆肥氮素损失

根据物质守恒和氮素平衡原理,堆肥氮素损失的计算公式如下:

$$N_{0000} = M_0 \times (1 - W_0) \times N_0 \%$$
 (1)
 $N_{0000} = M_0 \times (1 - W_0) \times N_0 \% - M_N \times (1 - W_0) \times N_0 \% - M_N \times (1 - W_0) \times N_0 \% + \prod_{i=1}^{n} [M_i \times (1 - W_i) \times N_i \%]$ (2)
 $N_{0000} = N_{0000} \times N_0 \% \times N_0 \%$ (3)

式中, N_{Billy} 为堆肥过程中氮素损失的总质量,g; M_N 为第 n 次取完样后堆肥的总湿质量,kg; M_i 为第 i 次所取样品的湿质量,kg; W_i 为第 i 次取样时堆肥含水率,%; N_i %为第 i 次取样时堆体全氮含量,g/kg(干重);i 为取样次数,i=0 和 i=n 分别代表堆肥的始、末状态; N_{Nigh} 为堆肥氮素的初始贮量,g.

根据上述公式可得,厨余堆肥氮损失率为初始含氮量的 35 %,其中 60 %是以氨氮的形式损失掉; 泔脚堆肥氮素损失率为初始含氮量的 14.5 %,其中近 58 %是氨氮损失.因此,该试验条件下 NH。挥发仍然是厨余堆肥和泔脚堆肥氮素损失的主要原因.

[9]

结论与建议

3.1 结论

- a. 厨余初始的微生物数量较泔脚多,一次好氧 堆制后,两堆体有益菌的数量均得到了提升.
- b. 泔脚堆肥的水溶性w(C)/w(N)较厨余堆肥 高,pH较厨余堆肥低,高温期持续时间长,CO2 释放 率高:厨余堆肥系统升温快,堆肥周期短,堆制过程 中的生物可利用碳短缺.
- c. 两堆肥系统原料中有机氮含量占绝对优势: 堆制后,厨余堆肥全氮含量下降了17.1%,有机氮 下降了24.4%. 泔脚堆肥全氮含量上升了18.4%, 有机氮上升了 15.7%; 泔脚堆肥原料中几乎不含铵 氮,堆制后,堆肥铵氮含量约为 0.4 g/kg. 厨余堆肥 堆制后,铵氮含量升高67.0%;一次好氧堆制过程 中的硝化作用不显著,堆制后硝氮含量略有上升,但 变化不大.
- d. 该试验条件下,厨余堆肥、泔脚堆肥的氮损 失率分别为 35 %和 14.5 %;NH。挥发占氮损失的比 例分别为 60 %和 58 %.

3.2 建议

- a. 泔脚堆肥一次堆制所需时间偏长,可在堆肥 初期添加碱性物质调节堆体的pH,并在堆肥过程中 添加适当的高效菌剂以缩短堆肥时间.
- b. 厨余堆肥的生物可利用碳短缺,堆肥氮素损 失量大,可通过添加适当碳源等措施来减少厨余堆 肥的氮素损失.

参考文献:

- [1] 吕凡,何品晶,邵立明,等. 易腐性有机垃圾的产生与处理技 术途径比较[J]. 环境污染治理技术与设备,2003,4(8): 46 -- 50
 - Lv Fan , He Pinjing , Shao Liming , et al . Generation and treatment technologies of putrescible waste [J]. Techniques and Equipment for Environmental Pollution Control, 2003, 4(8):46-50.
- [2] 夏越青,周迎艳. 上海市餐厨垃圾的管理 [J]. 环境卫生工 程,2003,11(1):43-45.
 - Xia Yueqing, Zhou Yingyan. Restaurant and kitchen swill management in Shanghai City [J]. Environmental Sanitation Engineering ,2003 ,11(1): 43-45.
- [3] 梁政,杨勇华,樊洪,等. 厨余垃圾处理技术及综合利用研究 [J]. 中国资源综合利用,2004,(8):36-38. Liang Zheng, Yang Yonghua, Fan Hong, et al. Research on disposal and complex utilization of rubbishes after dinning [J]. China Resources Comprehensive Utilization, 2004, (8):36-38.
- [4] 李海生,刘光辉,刘亮,等. 城市垃圾填埋场渗滤液处理研究 进展[J]. 环境科学研究,2004,17(1):77-80. Li Haisheng, Liu Guanghui, Liu Liang, et al. Advance of technologies for municipal landfill leachate treatment [J]. Research of Environmental Sciences, 2004, 17(1):77 -80.

- [5] 华德尊,李春艳,宋玉珍. 双城市固体废物处理处置与无害 化、资源化研究 [J]. 环境科学研究,2003,16(6):16-48. Hua Dezun , Li Chunyan , Song Yuzhen. Study on municipal solid wastes disposal and harmless treatment and resource utilization in Shuangcheng City [J]. Research of Environmental Sciences ,2003 ,16 (6):16—18.
- [6] 席北斗,刘鸿亮,孟伟,等. 垃圾堆肥高效复合微生物菌剂的 制备[J]. 环境科学研究,2003,16(2):58-60,64. Xi Beidou ,Liu Hongliang ,Meng Wei , et al. Study on preparation technology of complex microbial community in composting process [J]. Research of Environmental Sciences, 2003, 16(2):58-60,64.
- [7] 吕凡,何品晶,邵立明,等. 餐厨垃圾高温好氧生物消化工艺 控制条件优化[J]. 同济大学学报,2003,31(2):234-238. Lv Fan, He Pinjing, Shao Liming, et al. Optimum operation parameters of aerobic thermophilic process for food waste [J]. Journal of Tongji University, 2003, 31(2):234—238.
- [8] 陈世和,张所明. 城市垃圾堆肥原理与工艺[M]. 上海:复旦 大学出版社,1990. Chen Shihe, Zhang Suoming. Theory and technology of municipal solid wastes [M]. Shanghai: Fudan Press, 1990.
- 鲍士旦. 土壤农化分析[M]. 第3版. 北京:农业出版社, Bao Shidan. Agricultural chemical assay of soil [M]. 3rd ed. Beijing: Agricultural Press, 2000.
- 国家环境保护总局. 水和废水监测分析方法[M]. 第4版. 北 京:中国环境科学出版社,2002. State Environmental Protection Administration of China. Monitoring and analyzing method of water and waste water[M]. 4th ed. Beijing: China Environmental Science Press ,2002.
- [11] 黄国锋,钟流举,张振钿,等. 猪粪堆肥化处理过程中的氮素 转变及腐熟度研究[J]. 应用生态学报, 2002,13(11):1459 —
 - Huang Guofeng, Zhong Liuju, Zhang Zhentian, et al. On nitrogen transformations and maturity during composting of pig manure [J]. Chinese Journal of Applied Ecology, 2002, 13(11):1459—1462.
- [12] 胡家骏,周群英. 环境工程微生物学[M]. 北京:高等教育出 版社,1999.

[13] 黄得扬,陆文静,王洪涛. 有机固体废物堆肥化处理的微生

- Hu Jiajun, Zhou Qunying. Microbiology of environmental engineering [M]. Beijing: Higher Education Press, 1999.
- 物学机理研究[J]. 环境污染治理技术与设备,2004,5(1): 12 - 18,71. Huang Deyang, Lu Wenjing, Wang Hongtao. Microbiological mechanism of organic solid wastes composting [J]. Techniques and Equipment for Environmental Pollution Control, 2004,5(1):12-18,71.
- [14] USEPA. Composting: yard trimmings and municipal solid waste [Z]. SEPA,530-R-94-003,1993.
- [15] Haug R T. The practical handbook of compost engineering [M]. Boca Raton: Lewis Publishers, USA, 1993.
- [16] Insam H, Riddech N, Klammer S. Microbiology of composting [M]. New York: Springer, USA, 2002.

(编辑:潘凤云)